

不同浓度鸦胆子苦醇对小鼠矽肺纤维化的影响

康慧敏，李柔，王汉钦，郑云帆，陈适

湖南师范大学医学院，湖南 长沙 410000

摘要：

[背景] 矽肺是一种肺部弥漫性纤维化疾病，由长期暴露于游离二氧化硅(SiO_2)粉尘引起，发病机制复杂，缺乏有效的治疗。鸦胆子苦醇(Bru)具有多种生物活性，其在矽肺纤维化中的作用尚不明确。

[目的] 探究不同浓度 Bru 对 SiO_2 诱导小鼠矽肺纤维化的影响。

[方法] 将 30 只雄性 C57BL/6J 小鼠随机分为对照组、矽尘组、Bru 低剂量($1 \text{ mg} \cdot \text{kg}^{-1}$)组、Bru 中剂量($2 \text{ mg} \cdot \text{kg}^{-1}$)组、Bru 高剂量($4 \text{ mg} \cdot \text{kg}^{-1}$)组，每组 6 只；除对照组外，其余各组均采用一次性非气管暴露法滴注 $50 \mu\text{L}$ 、 $60 \text{ mg} \cdot \text{mL}^{-1}$ SiO_2 悬浊液建立矽肺小鼠模型，对照组滴注等量生理盐水；Bru 组于染尘的同时腹腔注射 Bru，连续注射 5 d，随后隔天注射，染尘 28 d 后处死小鼠，收集肺组织。测定小鼠肺系数；采用苏木精-伊红(HE)染色和 Masson 染色观察小鼠肺组织的病理变化；Western blot 法检测小鼠肺组织中凋亡蛋白 Cleaved-caspase 3、纤维化相关蛋白 α -平滑肌肌动蛋白(α -SMA)、I 型胶原蛋白(Col-I)、自噬相关蛋白 Beclin1、微管相关蛋白 1 轻链 3(LC3)、Sequestosome 1(p62/SQSTM1)蛋白、Kelch 样环氧化酶丙烷相关蛋白 1(Keap1)，核因子 E2 相关因子 2(Nrf2)的表达水平；实时荧光定量逆转录 PCR(RT-qPCR)检测小鼠肺组织中 Caspase 3、 α -SMA 和 Col-ImRNA 水平。

[结果] 与对照组相比，矽尘组小鼠的肺系数明显升高($P < 0.01$)；肺组织中肺泡壁受损，出现炎性细胞浸润、纤维结节和胶原纤维沉积；Cleaved-caspase 3、 α -SMA 和 Col-I 的蛋白表达及转录水平均明显上调($P < 0.01$)；Beclin1、LC3-II/I、p62、Nrf2 表达水平增加($P < 0.05$, $P < 0.01$)，而 Keap1 表达水平下降($P < 0.05$)。与矽尘组相比，Bru 低、中剂量组小鼠肺系数降低($P < 0.05$)；肺组织的病理损伤及胶原沉积明显改善；Cleaved-caspase 3、 α -SMA 和 Col-I 的蛋白表达及转录水平下降($P < 0.05$, $P < 0.01$)，Beclin1、LC3-II/I、p62、Nrf2 表达水平也均明显下降($P < 0.05$, $P < 0.01$)，中剂量组 Keap1 水平上升($P < 0.05$)。与矽尘组相比，Bru 高剂量组肺系数、病理损伤、Cleaved-caspase 3、 α -SMA 和 Col-I 的蛋白表达及转录水平差异无统计学意义($P > 0.05$)；Beclin1、LC3-II/I 及 Nrf2 表达水平降低($P < 0.01$)，p62 蛋白表达水平差异无统计学意义($P > 0.05$)，Keap1 蛋白水平上升($P < 0.01$)。

[结论] 低、中剂量 Bru 可能通过 Keap1-Nrf2 通路调控自噬，改善自噬降解障碍，降低矽肺小鼠的肺系数，减轻矽肺小鼠肺组织中的细胞凋亡，延缓矽肺纤维化的进展。

关键词： 矽肺；鸦胆子苦醇；肺纤维化；自噬；凋亡

Effects of different concentrations of brusatol on silicosis fibrosis in mice KANG Huimin, LI Rou, WANG Hanqin, ZHENG Yunfan, CHEN Shi (School of Medicine, Hunan Normal University, Changsha, Hunan 410000, China)

Abstract:

[Background] Silicosis is a diffuse fibrosis of the lungs caused by long-term inhalation of free silicon dioxide (SiO_2)。It has a complex pathogenesis and lacks effective treatment. Brusatol (Bru) has a variety of biological activities, and its role in silicosis fibrosis is unclear yet。

[Objective] To investigate the effects of different concentrations of Bru on SiO_2 -induced silicosis fibrosis in mice.

[Methods] Thirty male C57BL/6J mice were randomly divided into five groups: a control group, a silica group, and three Bru intervention groups with low, medium, and high doses (1 , 2 , and $4 \text{ mg} \cdot \text{kg}^{-1}$)，with 6 mice in each group. Except the control group, the remaining groups were established as SiO_2 -induced silicosis mouse models by using a single tracheal infusion of $50 \mu\text{L}$ $60 \text{ mg} \cdot \text{mL}^{-1}$ SiO_2 suspension. The control group was dosed with equal amount of saline. The Bru intervention



DOI [10.11836/JEOM23378](https://doi.org/10.11836/JEOM23378)

基金项目

国家自然科学基金项目(82173493)；湖南省自然科学基金项目(2023JJ30423)

作者简介

康慧敏(1999—)，女，硕士生；
E-mail: sandwich@hunnu.edu.cn

通信作者

陈适，E-mail: chenshonest@163.com

作者中包含编委会成员 无

伦理审批 已获取

利益冲突 无申报

收稿日期 2023-11-03

录用日期 2024-03-13

文章编号 2095-9982(2024)05-0539-07

中图分类号 R114

文献标志码 A

▶ 引用

康慧敏, 李柔, 王汉钦, 等. 不同浓度鸦胆子苦醇对小鼠矽肺纤维化的影响[J]. 环境与职业医学, 2024, 41(5): 539-545.

▶ 本文链接

www.jeom.org/article/cn/10.11836/JEOM23378

Funding

This study was funded.

Correspondence to

CHEN Shi, E-mail: chenshonest@163.com

Editorial Board Members' authorship No

Ethics approval Obtained

Competing interests None declared

Received 2023-11-03

Accepted 2024-03-13

▶ To cite

KANG Huimin, LI Rou, WANG Hanqin, et al. Effects of different concentrations of brusatol on silicosis fibrosis in mice[J]. Journal of Environmental and Occupational Medicine, 2024, 41(5): 539-545.

▶ Link to this article

www.jeom.org/article/en/10.11836/JEOM23378

groups were injected intraperitoneally with Bru for 5 consecutive days and then injected every other day. After 28 d of exposure, the mice were executed and lung tissues were collected. The lung coefficient of the mice was measured, and the pathological changes of the lung tissues were observed after hematoxylin-eosin (HE) and Masson staining. The levels of apoptotic protein Cleaved-caspase 3, fibrosis-related protein α -smooth muscle actin (α -SMA), type I collagen (Col-I), autophagy-associated protein Beclin1, microtubule-associated protein 1 light chain 3 (LC3), Sequestosome 1 (p62/SQSTM1), Kelch like ECH-associated protein-1 (Keap1), and nuclear factor erythroid 2 related factor 2 (Nrf2) were detected by Western blot. The mRNA levels of Caspase 3, α -SMA, and Col-I were measured by realtime fluorescence-based quantitative PCR.

[Results] Compared with the control group, the lung coefficient of mice in the silica group was significantly increased ($P < 0.01$); the lung tissues of the silicosis mice showed damaged alveolar walls, along with infiltration of inflammatory cells, fibrous nodules, and collagen deposition; furthermore, the protein and mRNA levels of Cleaved-caspase 3, α -SMA, and Col-I were significantly increased ($P < 0.01$); the expression levels of Beclin1, LC3-II/I, p62, and Nrf2 were increased, while that of Keap1 was decreased ($P < 0.05$). The interventions with low and medium doses of Bru reduced lung coefficient ($P < 0.05$) and protected against pathological damage and collagen deposition in the lung tissues of the silicosis mice; the protein and mRNA expression levels of Cleaved-caspase 3, α -SMA, and Col-I were significantly decreased in the low and medium dose groups ($P < 0.05$, $P < 0.01$), the expression levels of Beclin1, LC3-II/I, p62, and Nrf2 were also decreased ($P < 0.05$, $P < 0.01$), and the expression level of Keap1 was increased in the medium dose group ($P < 0.05$). However, compared with the silica group, the differences in lung coefficient, pathological damage, and protein and mRNA expression levels of Cleaved-caspase 3, α -SMA, and Col-I in the Bru high dose group were not statistically significant ($P > 0.05$). In addition, the high dose of Bru decreased Beclin1, LC3-II/I, and Nrf2 expression levels ($P < 0.01$), did not change p62 protein expression level ($P > 0.05$), while increased Keap1 protein level ($P < 0.01$).

[Conclusion] Low and medium doses of Bru might regulate autophagy through the Keap1-Nrf2 pathway, ameliorate autophagic degradation impairment, reduce pulmonary coefficient, attenuate apoptosis, and delay the progression of fibrosis in SiO_2 -induced silicosis mice.

Keywords: silicosis; brusatol; lung fibrosis; autophagy; apoptosis

矽肺是由于长期吸入含游离二氧化硅(silicon dioxide, SiO_2)粉尘引起的肺部弥漫性纤维化疾病,是危害最严重的尘肺病之一^[1]。自噬是真核细胞内的一种自我降解途径,对于维持细胞内环境稳态至关重要^[2]。前期的研究发现,矽肺患者肺泡巨噬细胞(alveolar macrophages, AMs)及矽肺小鼠模型中自噬体增多,自噬底物蛋白Sequestosome 1(p62/SQSTM1)异常增高导致自噬降解障碍,进而加重AMs凋亡并促进纤维化的进展^[3-4],提示p62依赖的选择性自噬在矽肺的发生、发展中发挥重要作用。此外,p62参与细胞内多条信号通路的调控,包括Kelch样环氧氯丙烷相关蛋白1(Kelch like ECH-associated protein-1, Keap1)-核因子E2相关因子2(nuclear factor erythroid 2 related factor 2, Nrf2)信号通路^[5]。Keap1-Nrf2是重要的细胞防御和存活途径之一,Nrf2作为核转录因子,与Keap1解离进入细胞核,诱导抗氧化基因的转录来激活细胞抗氧化反应^[6]。研究发现由自噬失调引起的p62蛋白积累会诱导Nrf2持续激活,造成组织损伤^[7-8],另外在矽肺患者外周血单核细胞中发现Nrf2表达增加^[9],提示Nrf2可能参与矽肺的发病进程。

鸦胆子苦醇(brusatol, Bru)是从苦木科植物鸦胆子果实中提取出来的一种苦木内酯类化合物,具有抗炎、抗氧化、抗肿瘤等多重功效^[10]。作为Nrf2的有效抑制剂,Bru可通过抑制Nrf2的激活减少p62的转录延缓大鼠子宫内膜癌的发生,并通过调控自噬减轻肾小管细胞凋亡^[8, 11]。据此推测Bru可能通过抑制

Nrf2调控p62依赖的选择性自噬,缓解矽肺纤维化。因此,本研究拟建立 SiO_2 诱导的小鼠矽肺模型,并予以不同浓度的Bru干预,探讨Bru对小鼠矽肺纤维化的作用。

1 对象与方法

1.1 实验动物

30只无特定病原体(specific pathogen free, SPF)级C57BL/6J雄性小鼠,6~8周龄,体重20~25 g,从湖南斯莱克景达实验动物有限公司获得(生产许可证书号:2019-0004)。小鼠饲养于湖南师范大学医学院SPF级饲养房,许可证号:SYXK(湘)2020-0012,温度和相对湿度分别保持在21~25 °C和45%~65%,昼夜周期各为12 h,饲养期间小鼠自主进食及饮水。进行实验前小鼠适应性喂养1周。本研究经湖南师范大学生物医学研究伦理委员会批准(审批号:2021-308)。

1.2 动物模型的建立

天然结晶 SiO_2 颗粒(Min-U-Sil 5, 97% < 5 μm, 美国Silica)置于研钵中研磨1 h后溶于无菌生理盐水中,配制成60 mg·mL⁻¹ SiO_2 悬液,经高压灭菌后使用。根据Bru相关药理学研究^[12-16],确定以2 mg·kg⁻¹作为中剂量。采用随机数表法,并根据动物实验剂量梯度设计原则,将30只小鼠分为对照组、矽尘组、Bru低剂量(1 mg·kg⁻¹)组、Bru中剂量(2 mg·kg⁻¹)组、Bru高剂量(4 mg·kg⁻¹)组5组,每组6只,在实验第1天使用一次性非气管暴露法建立矽肺小鼠模型^[17]。对照组:气

管内滴注 50 μL 生理盐水；矽尘组：气管内滴注 50 μL、 $60 \text{ mg} \cdot \text{mL}^{-1}$ SiO₂ 悬浊液；Bru 各剂量组：在气管内滴注 SiO₂ 悬浊液的同时，分别按 1、2、4 mg·kg⁻¹ 的剂量腹腔注射 Bru (14907-95-3, 使用高效液相色谱法测定药物的纯度≥98%，中国埃法生物) 溶液 200 μL，连续注射 5 d，随后隔天注射。各组小鼠在滴注 28 d 后处死，收集肺组织。

1.3 肺系数的测定

麻醉小鼠后称量体重，处死小鼠后分离肺组织并称重。计算各组小鼠肺系数：肺系数 (mg·g⁻¹) = 肺脏质量 (mg)/体重 (g)。

1.4 组织学检查

小鼠处死后，取左肺肺门处组织，采用 4% 的多聚甲醛溶液固定，经石蜡包埋后制成 5 μm 的切片。将切片进行苏木精-伊红染色 (hematoxylin-eosin, HE) 和 Masson 三染后，于光学显微镜 (DM 4000B 型，德国 Leica) 下观察，并使用 Image J v1.8.0 软件分析胶原着色的光密度值。在每个样本中选取 3 个不同区域进行评估，并取平均值。

1.5 Western blot 检测肺组织相关蛋白的表达

取肺组织样本称重后匀浆并加入放射免疫沉淀法 (radioimmunoprecipitation assay, RIPA) 裂解液 (P0013B, 中国碧云天) 裂解 1 h, 12 000 r·min⁻¹, 半径 18.5 cm, 4 °C 离心 20 min, 吸取上清蛋白并根据比辛可宁酸 (bicinchoninic acid, BCA) 蛋白定量试剂盒 (P0010, 中国碧云天) 说明书进行 BCA 定量。随后，蛋白经变性、电泳、转膜，封闭，后于 4 °C 温育 Cleaved-caspase 3 (1:1 000, AC033, 中国碧云天)、Caspase 3 (1:1 000, AF6311, 中国亲科生物)、I 型胶原蛋白 (collagen I, Col-I) (1:1 000, AF7001, 中国亲科生物)、α-平滑肌肌动蛋白 (α-smooth muscle actin, α-SMA) (1:1 000, A17910, 中国爱博泰克)、Beclin1 (1:1 000, AF5128, 中国亲科生物)、p62 (1:1 000, 5114, 美国 CST)、微管相关蛋白 1 轻链 β3 (microtubule-associated protein 1 light chain 3 beta, LC3B) (1:1 000, 2775, 美国 CST)、甘油醛-3-磷酸脱氢酶 (glyceraldehyde 3 phosphate dehydrogenase, GAPDH) (1:3 000, AF7021, 中国亲科生物)、Nrf2 (1:1 000, BF8017, 中国亲科生物)、Keap1 (1:1 000, A11484, 中国爱博泰克) 一抗过夜。次日蛋白条带经 TBST 洗涤后于室温下温育辣根过氧化物酶 (horseradish peroxidase, HRP) 标记的羊抗兔 IgG (1:4 000, AS014, 中国爱博泰克) 或 HRP 标记的羊抗鼠 IgG (1:4 000, AS003, 中国爱博泰克) 二抗 1 h，再以 TBST 洗涤。使用

增强型化学发光液 (BL520A, 中国白鲨生物) 显影后，使用 Image J v1.8.0 软件对蛋白条带进行灰度值分析。以目的蛋白灰度值/内参蛋白 GAPDH 灰度值表示各目的蛋白的相对表达水平。

1.6 实时荧光定量 PCR (realtime fluorescence-based quantitative PCR, RT-qPCR) 检测肺组织相关 mRNA 的表达

取适量小鼠肺组织，使用 TRIzol (R011-100, 中国鼎国昌盛生物) 法提取总 RNA，并用核酸蛋白测定仪 (Bio Photometer D30, 德国 Eppendorf) 测定总 RNA 的浓度及纯度。根据 Prime Script RT 试剂盒 (RK20429, 中国爱博泰克) 说明书进行逆转录，使用 SYBR Green Master Mix 试剂盒 (RK21204, 中国爱博泰克) 进行 RT-qPCR。以 GAPDH 作为内参基因，使用 $2^{-\Delta\Delta Ct}$ 方法计算各基因的相对表达量。引物名称及序列见表 1。

表 1 引物名称及序列

Table 1 Primer names and sequences

引物名称	引物序列 (5'-3')
Caspase 3 正向:	GCTGACTTCCTGTATGCTTACTC 反向: AATTCCGTTGCCACCTTCT
Col-I 正向:	CAGTGGCGGTTATGACTTCAG 反向: GGCTGCGGATGTTCTCAATC
α-SMA 正向:	GAACACGGCATCATCACCAA 反向: ATCTCCAGAGTCCAGCACAATA
GAPDH 正向:	AATGGTGAAGGTCGGTGTGA 反向: CGCTCCTGGAAGATGGTGAT

1.7 统计学分析

采用 GraphPad Prism 8.0 软件进行数据统计分析。计量资料服从正态分布以均数±标准差 ($\bar{x} \pm s$) 表示。各组组间比较采用单因素方差分析，组间均数两两比较方差齐时采用最小显著性差异法 (least significant difference, LSD)，方差不齐时采用 Dunnett's T3 检验。 $P < 0.05$ 则表示差异具有统计学意义。

2 结果

2.1 不同浓度 Bru 对矽肺小鼠肺系数的影响

结果如表 2 所示，染尘 28 d 后，与对照组相比，矽尘组小鼠肺系数升高 ($P < 0.01$)；给予 Bru 干预后，Bru 低、中剂量组小鼠肺系数下降 ($P < 0.05$)，而 Bru 高剂量组与矽尘组相比差异无统计学意义 ($P > 0.05$)。

2.2 不同浓度 Bru 对矽肺小鼠肺组织病理的影响

HE 染色结果如图 1A 所示，与对照组小鼠相比，矽尘组小鼠肺部结构损伤，肺泡壁受损，大量炎性细胞浸润，伴有纤维结节。Bru 低、中剂量组小鼠肺组织炎性细胞浸润减少，病理损伤较矽尘组有明显改善，而 Bru 高剂量组小鼠肺组织病变与矽尘组相比未见明显改善。

表 2 不同浓度 Bru 对矽肺小鼠肺系数的影响 ($\bar{x} \pm s$, n=6)

Table 2 Effects of different concentrations of Bru on lung coefficient of silicosis mice ($\bar{x} \pm s$, n=6)

组别	肺系数/(mg·g ⁻¹)
对照组	5.27±0.26
矽尘组	7.40±0.47 ^{aa}
Bru低剂量组	6.45±0.43 ^b
Bru中剂量组	6.39±0.42 ^b
Bru高剂量组	6.73±0.56

[注] aa: 与对照组相比, P<0.01; b: 与矽尘组相比, P<0.05。

Masson 染色结果如图 1B、C 所示, 与对照组相比, 暴露于 SiO₂ 的小鼠肺组织中可见大量胶原纤维沉积。Bru 干预后, 胶原纤维减少, Bru 低、中剂量组与矽尘组相比差异具有统计学意义 (P<0.05, P<0.01)。

2.3 不同浓度 Bru 对矽肺小鼠肺组织细胞凋亡的影响

与对照组相比, 矽尘组 Cleaved-caspase 3 的表达和转录水平均提高 (P<0.01); Bru 干预后, Bru 低、中剂量组 Cleaved-caspase 3 的水平下降 (P<0.05, P<

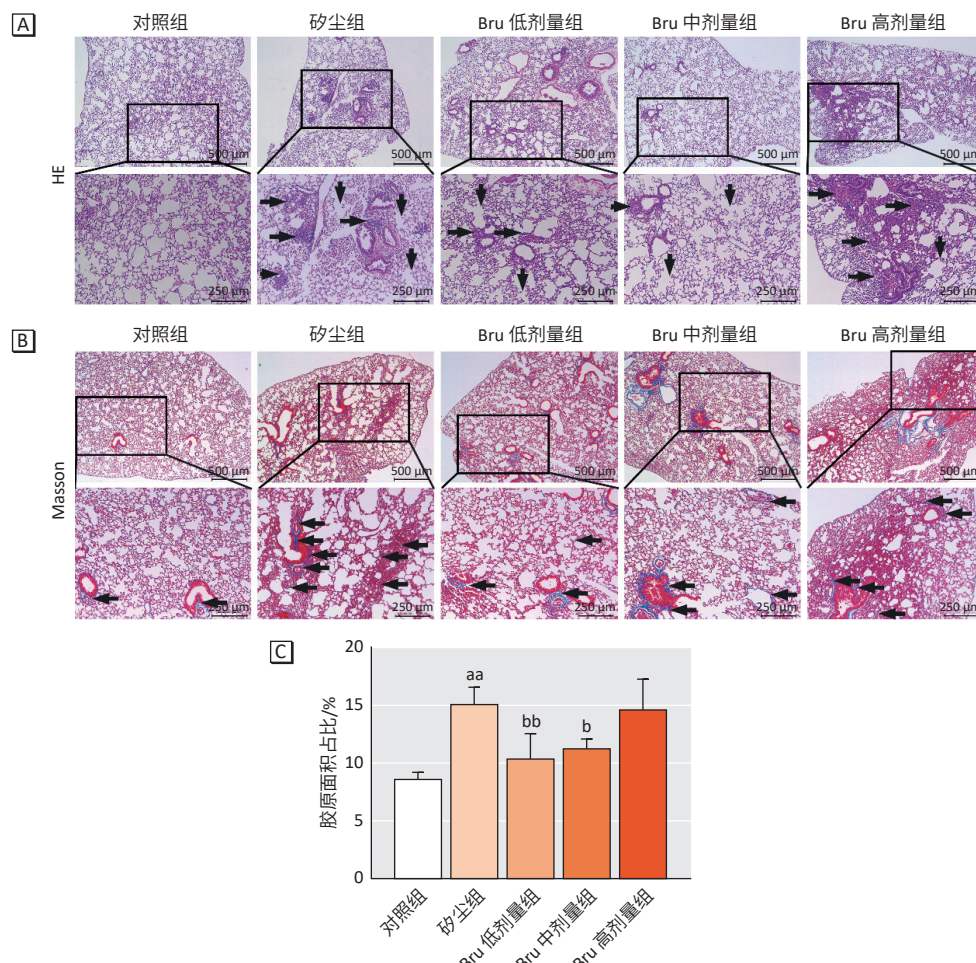
0.01), 而 Bru 高剂量组与矽尘组之间 Cleaved-caspase 3 的表达差异无统计学意义 (P>0.05)。见图 2。

2.4 不同浓度 Bru 对矽肺小鼠肺组织纤维化相关蛋白及 mRNA 表达的影响

结果如图 3 所示, SiO₂ 暴露引起小鼠肺组织 Col-I 和 α -SMA 蛋白水平升高 (P<0.01), 而 Bru 低、中剂量组蛋白水平下降 (P<0.01), Bru 高剂量组与矽尘组差异无统计学意义 (P>0.05)。RT-qPCR 检测 Col-I 和 α -SMA 的转录水平也得到相似的结果。

2.5 不同浓度 Bru 对矽肺小鼠肺组织自噬的影响

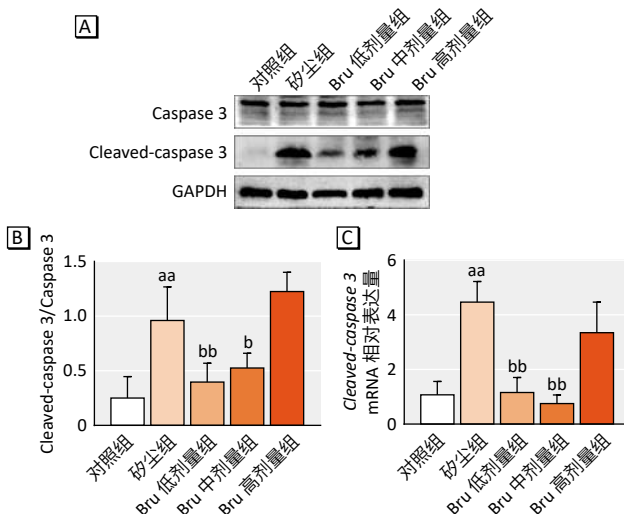
结果如图 4 所示, 相比于对照组, 矽尘组自噬相关蛋白 Beclin1、LC3-II/I 值和自噬底物蛋白 p62 的表达明显增加 (P<0.05, P<0.01), 而 Bru 低、中、高剂量组与矽尘组相比 Beclin1、LC3-II/I 值下降 (P<0.05, P<0.01); Bru 低、中剂量组 p62 表达水平明显降低 (P<0.05, P<0.01), 而 Bru 高剂量组与矽尘组相比 p62 蛋白的表达差异无统计学意义 (P>0.05)。



[注] A: HE 染色; B: Masson 染色; C: 各组小鼠肺组织纤维化面积的百分比; 向右箭头表示炎性细胞浸润, 向下箭头表示肺泡结构受损, 向左箭头表示胶原沉积, 黑框表示放大部分; aa: 与对照组相比, P<0.01; 与矽尘组相比, b: P<0.05; bb: P<0.01。

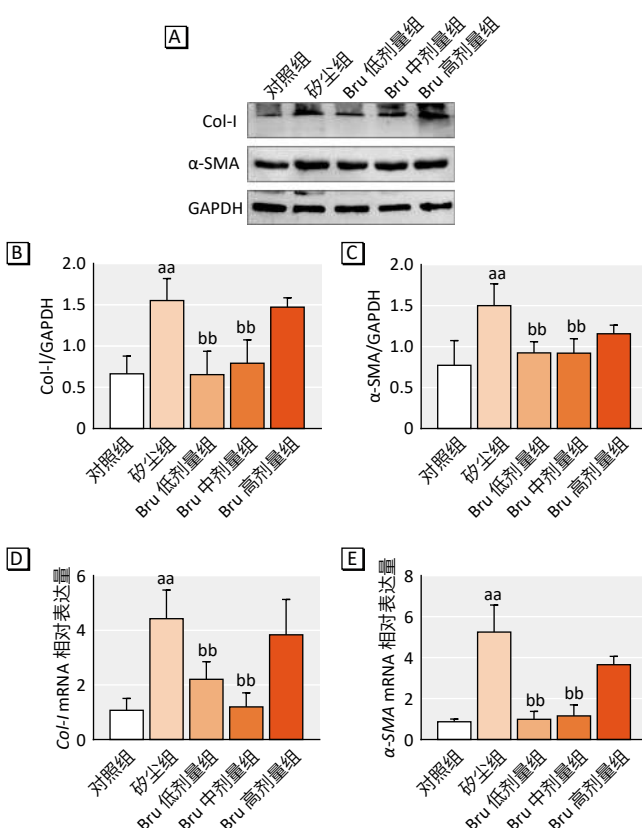
图 1 各组小鼠肺组织病理变化的情况 (n=6)

Figure 1 Histopathological changes of lung tissues of mice in each group (n=6)



[注] A: 蛋白电泳图; B: Cleaved-caspase 3 蛋白相对表达量; C: Cleaved-caspase 3 mRNA 相对表达量。aa: 与对照组相比, $P < 0.01$ 。与矽尘组相比, b: $P < 0.05$; bb: $P < 0.01$ 。

图 2 各组小鼠肺组织凋亡相关蛋白及 mRNA 表达的变化 ($n=6$)
Figure 2 Changes in apoptosis-related protein and mRNA expression in lung tissues of mice in each group ($n=6$)

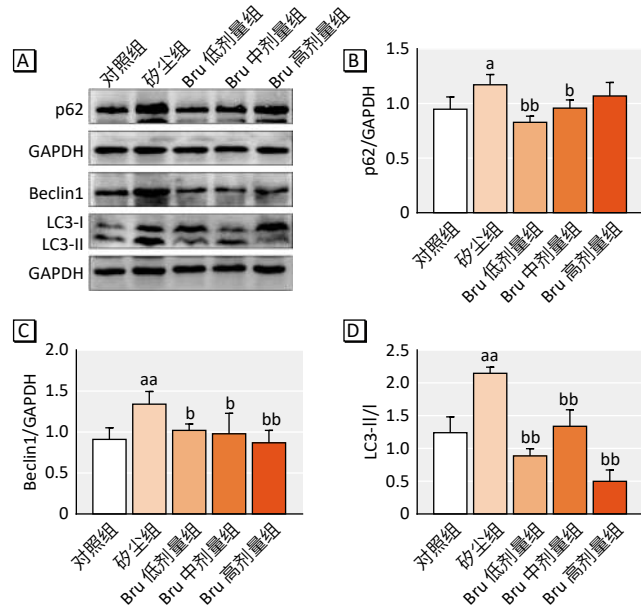


[注] A: 蛋白电泳图; B: Col-I 蛋白相对表达量; C: α-SMA 蛋白相对表达量; D: Col-I mRNA 相对表达量; E: α-SMA mRNA 相对表达量。aa: 与对照组相比, $P < 0.01$; bb: 与矽尘组相比, $P < 0.01$ 。

图 3 各组小鼠肺组织纤维化相关蛋白及 mRNA 表达的变化 ($n=6$)
Figure 3 Changes in fibrosis-related protein and mRNA expression in lung tissues of mice in each group ($n=6$)

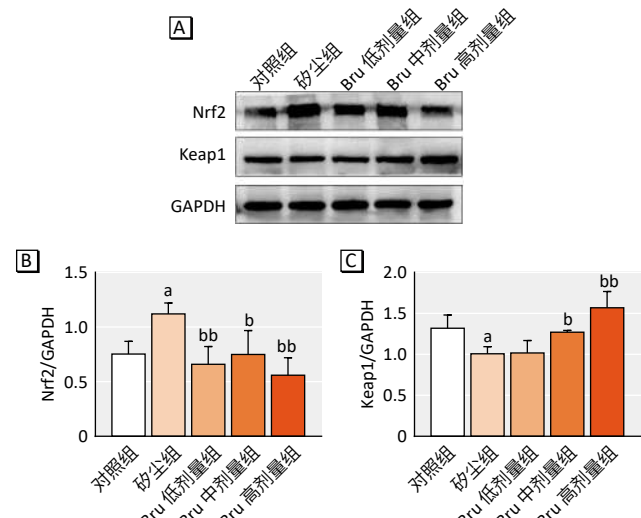
2.6 不同浓度 Bru 对矽肺小鼠肺组织 Nrf2、Keap1 蛋白表达的影响

结果如图 5 所示, 与对照组相比, 矽尘组小鼠肺组织中 Nrf2 蛋白水平增加($P < 0.05$), Keap1 蛋白水平减少($P < 0.05$); 而 Bru 干预后小鼠肺组织中 Nrf2 的蛋白水平下降, 其中 Bru 高剂量组最低($P < 0.01$), Bru 中、高剂量组 Keap1 蛋白水平增加($P < 0.05$, $P < 0.01$)。



[注] A: 蛋白电泳图; B: p62 相对表达量; C: Beclin1 相对表达量; D: LC3-II 相对 LC3-I 的表达。与对照组相比, a: $P < 0.05$; aa: $P < 0.01$ 。与矽尘组相比, b: $P < 0.05$; bb: $P < 0.01$ 。

图 4 各组小鼠肺组织 p62、Beclin1 和 LC3 蛋白表达的变化 ($n=6$)
Figure 4 Changes in protein expression of p62, Beclin1, and LC3 in lung tissues of mice in each group ($n=6$)



[注] A: 蛋白电泳图; B: Nrf2 相对表达量; C: Keap1 相对表达量。a: 与对照组相比, $P < 0.05$ 。与矽尘组相比, b: $P < 0.05$; bb: $P < 0.01$ 。

图 5 各组小鼠肺组织 Nrf2、Keap1 蛋白表达的变化 ($n=6$)
Figure 5 Changes in protein expression of Nrf2 and Keap1 in lung tissues of mice in each group ($n=6$)

3 讨论

矽肺的发病机制复杂且未完全阐明，缺乏有效的治疗^[18]。Bru 是中药鸦胆子的重要成分之一，在矽肺中的作用未见报道。本研究通过建立不同浓度 Bru 多次干预的矽肺小鼠模型，发现低、中剂量 Bru 可显著降低矽肺小鼠的肺系数，抑制纤维化相关标志物 Col-I 和 α-SMA 的表达，改善矽肺小鼠肺组织的病理损伤，而高剂量 Bru 对上述指标的影响不明显，提示 1、2 mg·kg⁻¹ Bru 具有抗矽肺纤维化的效应。

自噬是细胞维持内环境稳态的动态平衡过程，是矽肺纤维化发生、发展的重要机制之一。Beclin1 和 LC3 是重要的自噬相关蛋白，介导自噬体的形成。LC3 分为 I 型和 II 型，在自噬过程中，胞质 LC3-I 经泛素化修饰转变为脂质化形式的 LC3-II，进而诱导自噬体的生长与闭合，因此 LC3-II/I 可反映自噬体的变化^[19]。p62 是选择性自噬中的关键蛋白，与泛素化底物结合并转运至自噬溶酶体完成底物的降解。在自噬过程中 p62 蛋白的异常增高可提示 p62 绑定的泛素化蛋白聚集，即自噬降解功能受损^[20]。本研究发现低、中剂量 Bru 干预的矽肺小鼠肺组织中 Beclin1、LC3-II/I 和 p62 的蛋白表达下降，证明低、中剂量 Bru 可抑制矽肺小鼠肺组织的自噬活性，改善自噬降解障碍。凋亡是一种程序性细胞死亡，与自噬密切相关。研究证实，自噬失调引起的 p62 的积累促进细胞凋亡^[21]。课题组前期的研究也发现阻碍自噬降解会加剧 SiO₂ 诱导的 AMs 凋亡^[4]。Caspase 3 是凋亡途径中关键的下游调控因子，当被激活后，活化型 Caspase 3 引发下游 Caspase 级联反应，以蛋白水解级联的方式切割细胞骨架和核蛋白，从而诱导细胞凋亡^[22-23]。因此，活化型 Caspase 3 即 Cleaved-caspase 3 被视为凋亡事件的最终执行者，其相对于总 Caspase 3 的表达水平可代表细胞凋亡程度。本研究观察到低、中剂量 Bru 可显著抑制 Cleaved-caspase 3 的表达，提示低、中剂量 Bru 可能通过改善自噬降解障碍减轻 SiO₂ 触发的细胞凋亡。然而高剂量 Bru 对 p62 和 Cleaved-caspase 3 没有明显的抑制作用，提示高剂量 Bru 未改善自噬降解障碍和凋亡，这可能是高剂量 Bru 未发挥抗矽肺纤维化作用的原因之一。

Nrf2 是一种重要的核转录因子，也是抗氧化防御系统的主要调节器^[24]。正常情况下，Nrf2 与 Keap1 结合定位于细胞质中，并通过泛素-蛋白酶体途径降解。在氧化刺激下，Nrf2 与 Keap1 解离并进入细胞核，诱导抗氧化基因的转录，保护细胞免受内源性和外源性

的氧化损伤^[5]。研究证实 Keap1-Nrf2 通路、凋亡和自噬之间相互调节，在有害化学物质诱导的细胞毒性中，适度激活 Nrf2 具有抗凋亡作用^[25]，而 Nrf2 的持续高表达加剧细胞凋亡^[8, 26-27]。此外，由自噬失调引起的 p62 积累可增强其与 Keap1 的结合，诱导 Nrf2 持续激活，进一步加剧细胞凋亡和自噬抑制^[8]。Bru 被广泛用作 Nrf2 的有效抑制剂^[28]，因此本研究进一步检测了矽肺小鼠肺组织中 Keap1-Nrf2 的蛋白水平以探究 Bru 调控自噬是否与 Keap1-Nrf2 通路有关。本研究结果表明，SiO₂ 暴露后小鼠肺组织中 Nrf2 水平增加，Keap1 水平下降，提示 SiO₂ 激活 Keap1-Nrf2 通路。Bru 则逆转了由 SiO₂ 引起的 Nrf2 和 Keap1 蛋白水平的变化，提示 Bru 可能通过 Keap1-Nrf2 通路调控自噬缓解矽肺纤维化。值得注意的是，Chen 等^[29]发现 Nrf2 缺陷小鼠抗氧化反应减弱，对镉暴露诱导的肾损伤更敏感，证实了过度抑制 Nrf2 可导致氧化还原失衡和组织损伤。本次实验结果显示 Bru 高剂量组 Nrf2 蛋白水平最低，推测在矽肺小鼠模型中高剂量 Bru 可能抑制了 Nrf2 对 SiO₂ 暴露的适应性激活，阻碍下游抗氧化反应的启动，导致细胞内活性氧积累加剧氧化损伤，从而治疗效果不明显。

本研究尚有以下局限性：没有定期监测小鼠的体重，未能探讨不同浓度 Bru 对小鼠体重增长的影响；在实验设计方面，没有设立 Bru 对照组，未探究 Bru 对小鼠生理状态的影响；在机制研究方面，尚需在细胞层面探究 Bru 的作用，进一步探讨高剂量 Bru 的效果，以及明确 Bru 抗矽肺纤维化的机制。

综上，低、中剂量 (1、2 mg·kg⁻¹) Bru 可能通过 Keap1-Nrf2 通路调控自噬，改善自噬降解障碍，减轻细胞凋亡，延缓矽肺纤维化的进展。然而本次的实验结果也表明，相较于低、中剂量 Bru，高剂量 Bru 没有表现出显著的治疗效果。因此，在未来的研究中需要注意 Bru 剂量的选择，并需要进一步确定 Bru 抗矽肺纤维化的确切机制，为矽肺的治疗提供更有效的策略。

参考文献

- [1] LIU X, JIANG Q, WU P, et al. Global incidence, prevalence and disease burden of silicosis: 30 years' overview and forecasted trends [J]. *BMC Public Health*, 2023, 23(1): 1366.
- [2] GLICK D, BARTH S, MACLEOD KF. Autophagy: cellular and molecular mechanisms [J]. *J Pathol*, 2010, 221(1): 3-12.
- [3] CHEN S, YUAN J, YAO S, et al. Lipopolysaccharides may aggravate apoptosis through accumulation of autophagosomes in alveolar macrophages of human silicosis [J]. *Autophagy*, 2015, 11(12): 2346-2357.
- [4] HE X, CHEN S, LI C, et al. Trehalose alleviates crystalline silica-induced pul-

- monary fibrosis via activation of the TFEB-mediated autophagy-lysosomal system in alveolar macrophages[J]. *Cells*, 2020, 9(1): 122.
- [5] JIANG T, HARDER B, DE LA VEGA M R, et al. p62 links autophagy and Nrf2 signaling[J]. *Free Radic Biol Med*, 2015, 88: 199-204.
- [6] JARAMILLO M C, ZHANG D D. The emerging role of the Nrf2-Keap1 signaling pathway in cancer[J]. *Genes Dev*, 2013, 27(20): 2179-2191.
- [7] DE LA VEGA M R, DODSON M, GROSS C, et al. Role of Nrf2 and autophagy in acute lung injury[J]. *Curr Pharmacol Rep*, 2016, 2(2): 91-101.
- [8] LIAN C Y, CHU B X, XIA W H, et al. Persistent activation of Nrf2 in a p62-dependent non-canonical manner aggravates lead-induced kidney injury by promoting apoptosis and inhibiting autophagy[J]. *J Adv Res*, 2023, 46: 87-100.
- [9] ZHAO Y, XU G, LI H, et al. Genome-wide mRNA profiling identifies the Nrf2-regulated lymphocyte oxidative stress status in patients with silicosis[J]. *J Occup Med Toxicol*, 2021, 16(1): 40.
- [10] YU X Q, SHANG X Y, HUANG X X, et al. Brusatol: A potential anti-tumor quassinoid from *Brucea javanica*[J]. *Chin Herb Med*, 2020, 12(4): 359-366.
- [11] FENG L, LI J, YANG L, et al. Tamoxifen activates Nrf2-dependent SQSTM1 transcription to promote endometrial hyperplasia[J]. *Theranostics*, 2017, 7(7): 1890-1900.
- [12] REN D, VILLENEUVE N F, JIANG T, et al. Brusatol enhances the efficacy of chemotherapy by inhibiting the Nrf2-mediated defense mechanism[J]. *Proc Natl Acad Sci U S A*, 2011, 108(4): 1433-1438.
- [13] YANG Y, TIAN Z, GUO R, et al. Nrf2 inhibitor, Brusatol in combination with trastuzumab exerts synergistic antitumor activity in HER2-positive cancers by inhibiting Nrf2/HO-1 and HER2-AKT/ERK1/2 pathways[J]. *Oxid Med Cell Longev*, 2020, 2020: 9867595.
- [14] YE R, DAI N, HE Q, et al. Comprehensive anti-tumor effect of Brusatol through inhibition of cell viability and promotion of apoptosis caused by autophagy via the PI3K/Akt/mTOR pathway in hepatocellular carcinoma[J]. *Biomed Pharmacother*, 2018, 105: 962-973.
- [15] OH E T, KIM C W, KIM H G, et al. Brusatol-mediated inhibition of c-Myc increases HIF-1 α degradation and causes cell death in colorectal cancer under hypoxia[J]. *Theranostics*, 2017, 7(14): 3415-3431.
- [16] 杨星. 鸦胆子苦醇对TNF- α 诱导的HaCaT细胞与银屑病样小鼠的作用及机制研究[D]. 重庆: 重庆大学, 2020.
- YANG X. Effect and mechanism study of brusatol in TNF- α -induced HaCaT cells and psoriasis-like mice[D]. Chongqing: Chongqing University, 2020.
- [17] TAN S, YANG S, KANG H, et al. Atractylenolide II I ameliorated autophagy dysfunction via epidermal growth factor receptor-mammalian target of rapamycin signals and alleviated silicosis fibrosis in mice[J]. *Lab Invest*, 2023, 103(2): 100024.
- [18] HANDRA C M, GURZU I L, CHIRILA M, et al. Silicosis: new challenges from an old inflammatory and fibrotic disease[J]. *Front Biosci (Landmark Ed)*, 2023, 28(5): 96.
- [19] TANIDA I, UENO T, KOMINAMI E. LC3 and autophagy[M]//DERETIC V. Autophagosome and Phagosome. Totowa: Humana Press, 2008: 77-88.
- [20] ZAFFAGNINI G, SAVOVA A, DANIELI A, et al. p62 filaments capture and present ubiquitinated cargos for autophagy[J]. *EMBO J*, 2018, 37(5): e98308.
- [21] ZHU F, LI X, TANG X, et al. Neferine promotes the apoptosis of HNSCC through the accumulation of p62/SQSTM1 caused by autophagic flux inhibition[J]. *Int J Mol Med*, 2021, 48(1): 124.
- [22] TAN S, CHEN S. The mechanism and effect of autophagy, apoptosis, and pyroptosis on the progression of silicosis[J]. *Int J Mol Sci*, 2021, 22(15): 8110.
- [23] NAGATA S. Apoptosis and clearance of apoptotic cells[J]. *Annu Rev Immunol*, 2018, 36: 489-517.
- [24] BARTOLINI D, DALLAGLIO K, TORQUATO P, et al. Nrf2-p62 autophagy pathway and its response to oxidative stress in hepatocellular carcinoma[J]. *Transl Res*, 2018, 193: 54-71.
- [25] LI Z, ZHU J, WAN Z, et al. Theaflavin ameliorates renal ischemia/reperfusion injury by activating the Nrf2 signalling pathway *in vivo* and *in vitro*[J]. *Biomed Pharmacother*, 2021, 134: 111097.
- [26] HOSEINRAD H, SHAHRESTANAKI J K, MOGHADDAM M M, et al. Protective effect of vitamin D3 against Pb-induced neurotoxicity by regulating the Nrf2 and NF- κ B pathways[J]. *Neurotox Res*, 2021, 39(3): 687-696.
- [27] KONG Q, DENG H, LI C, et al. Sustained high expression of *NRF2* and its target genes induces dysregulation of cellular proliferation and apoptosis is associated with arsenite-induced malignant transformation of human bronchial epithelial cells[J]. *Sci Total Environ*, 2021, 756: 143840.
- [28] CAI S J, LIU Y, HAN S, et al. Brusatol, an Nrf2 inhibitor for future cancer therapeutic[J]. *Cell Biosci*, 2019, 9: 45.
- [29] CHEN C, HAN X, WANG G, et al. *Nrf2* deficiency aggravates the kidney injury induced by subacute cadmium exposure in mice[J]. *Arch Toxicol*, 2021, 95(3): 883-893.

(英文编辑: 汪源; 责任编辑: 王晓宇)